



空调管路中冷媒流动噪音的机理研究

詹飞龙 上海交通大学 2021年4月



目 录

- 1. 研究背景
- 2. 管路内冷媒流型变化的实验研究
- 3. 管路内冷媒流型变化的模拟研究
- 4. 冷媒节流过程的噪音问题分析
- 5. 小结

1.1 空调器中的噪音问题严重影响舒适性

- 空调器存在多种类的噪音问题:对于家用空调器产品的设计,除了要有好的性能和安全指标外,还需要降低空调器的噪音;家用空调器运行时产生的噪音源包括压缩机、风机、换热器、管路系统等。
- ▶ 管路系统中的冷媒流致噪音成为影响空调舒适性的重要因素:空调管路系统中的阀类部件较多、管路布置复杂,在 某些特定工况下,冷媒流动参数变化剧烈,会出现严重影响舒适性的的流致噪音。

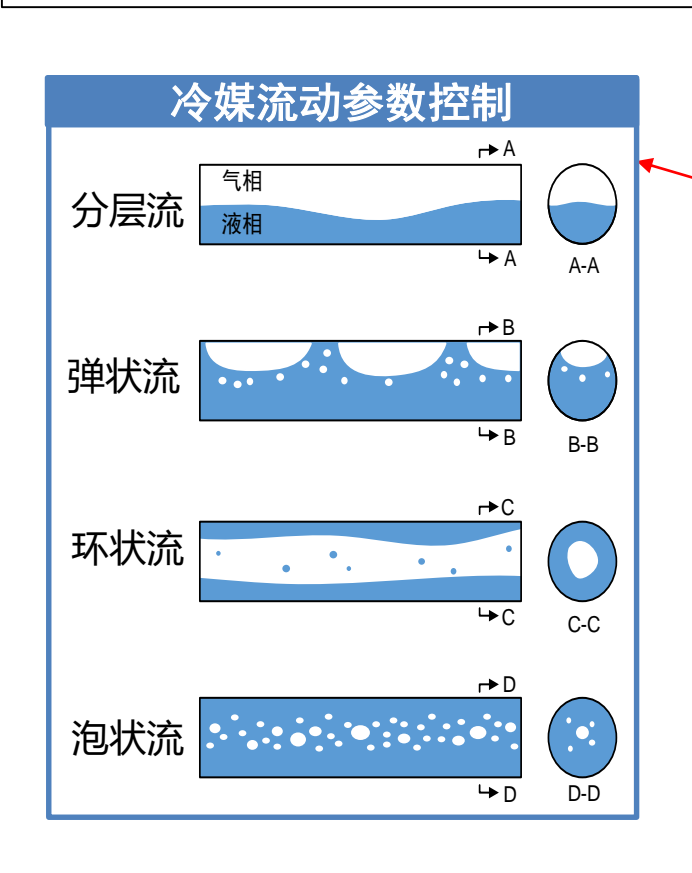
GB/T 7725-2004 中规定的分体式空调器的额定噪声值(声压级)

| 额定制冷量/kW。 | 室内噪声/dB(A)。 | 室外噪声/dB(A)。 |
|------------|-------------|-------------|
| <2.5 。 | ≤40 ∘ | ≤52 ∘ |
| 2.5~4.5 。 | ≤45 ∘ | ≤55 ₽ |
| >4.5~7.1 。 | ≤52 ∘ | ≤60 ∘ |
| >7.1~14 . | ≤55 ₽ | ≤65 ∘ |



1.2 抑制冷媒流致噪音成为空调产品开发中需要重点关注的技术点

- 冷媒流型影响流致噪音:掌握不同工况下冷媒在管路中的流型特征,获得流型与噪音的关系。
- 复杂流动参数变化影响流致噪音:掌握节流过程中冷媒相变空化的机制,获得冷媒相变与噪音的关系。
- 流致噪音的降噪思路:从单体阀类部件结构优化、整个管路系统结构优化、以及冷媒流动参数控制三个层面上综合 考虑降噪改进方法。





阀类部件结构优化

- 节流阀结构优化
- 分配器结构优化

•

•

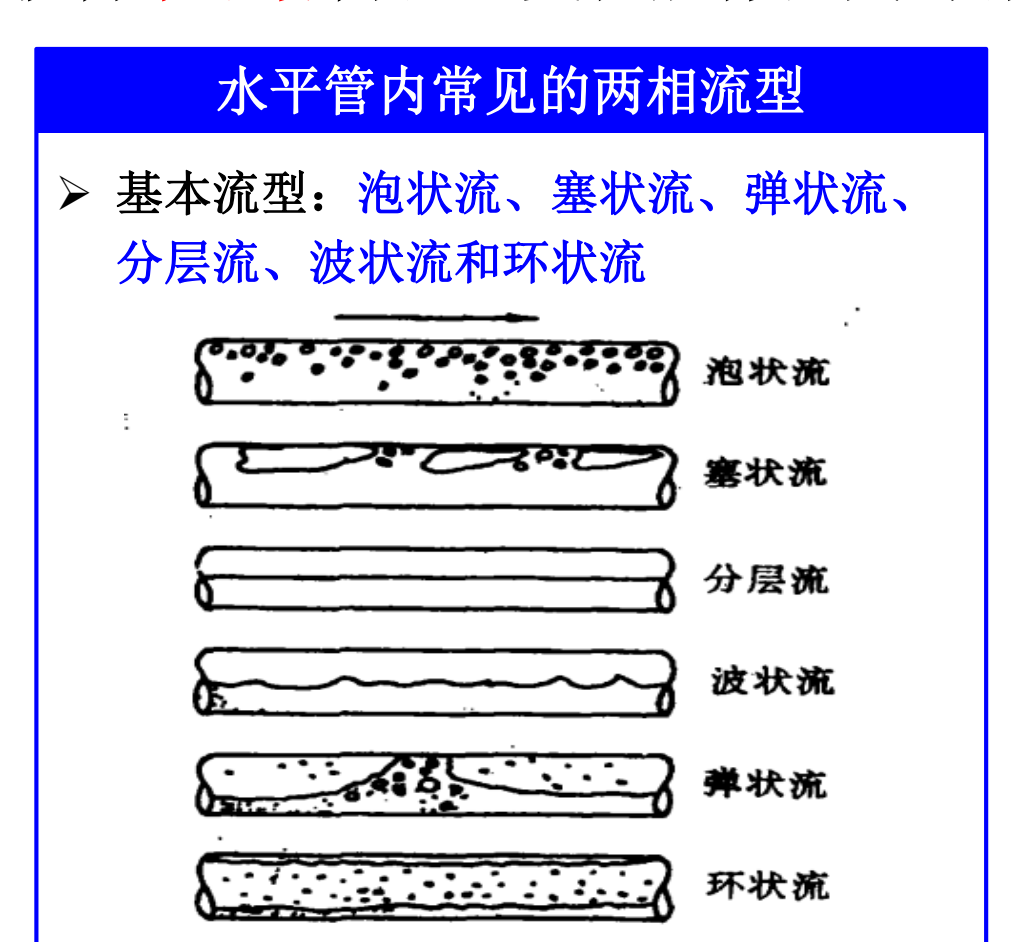
管路系统优化布置

- 节流机构布置方式
- 管径组合方式
- 管路布置方式

•

2.1 流型研究的目的

▶ 获得水平管内流型变化规律及其对噪音的影响



水平管内流型转化条件

• 波状分层流和间歇流或弥散环状流转化条件

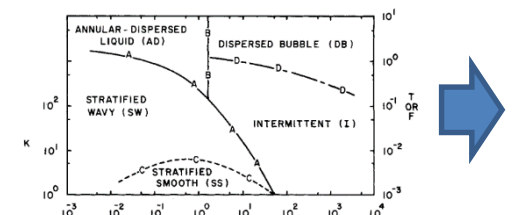
$$F^{2}\left[\frac{1}{C_{2}^{2}}\frac{\widetilde{U_{G}}d\widetilde{A_{L}}/d\widetilde{h_{L}}}{\widetilde{A_{G}}}\right] \geq 1$$

• 分层流与波状分层流转化条件

$$K \ge \frac{2}{\sqrt{\widetilde{U_L}s}\widetilde{U_G}}$$

• 间歇流与弥散泡状流转化条件

$$T^{2} \ge \frac{8\widetilde{A_{G}}}{\widetilde{S_{i}}\widetilde{U_{L}}^{2}(\widetilde{U_{L}}\widetilde{D_{L}})^{-n}}$$



F、K、T为表示 流型转化边界的 无量纲数

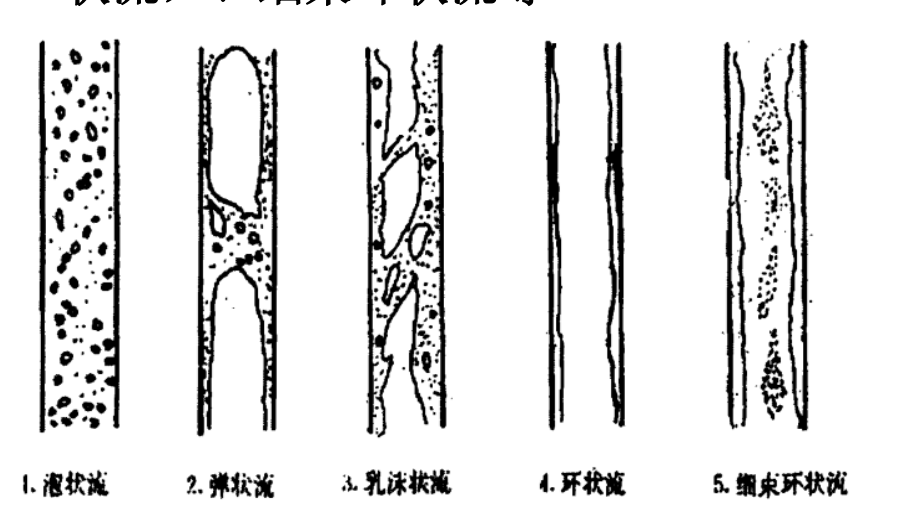
现有文献中的水平管内流型转化条件通常以流型图形式来表征。

2.1 流型研究的目的

➤ 获得<mark>竖直管</mark>内流型变化规律及其对噪音的影响

竖直管内常见的两相流型

- 基本流型:泡状流、弹状流和环状流, 无分层流
- ▶ 过渡流型: 弥散泡状流、搅混流(乳沫 状流)、细束环状流等



竖直管内流型转化条件

• 泡状流与弥散泡状流转化条件

$$U_{LS} + U_{GS} = 4.0 \left\{ \frac{D^{0.429} \left(\frac{\sigma}{\rho_L}\right)^{0.089}}{v_L^{0.072}} \left[\frac{g(\rho_L - \rho_G)}{\rho_L} \right]^{0.446} \right\}$$

• 泡状流与弹状流转化条件

$$U_{LS} = 3.0U_{GS} - 1.15 \left[\frac{g(\rho_L - \rho_G)\sigma}{\rho_L^2} \right]^{1/4}$$

• 环状流与搅混流转化条件

$$U_G = \left(\frac{4K}{3C_d}\right)^{1/4} \frac{[\sigma g(\rho_L - \rho_G)]^{1/4}}{\rho_G^{1/2}}$$

• 弹状流与搅混流转化条件

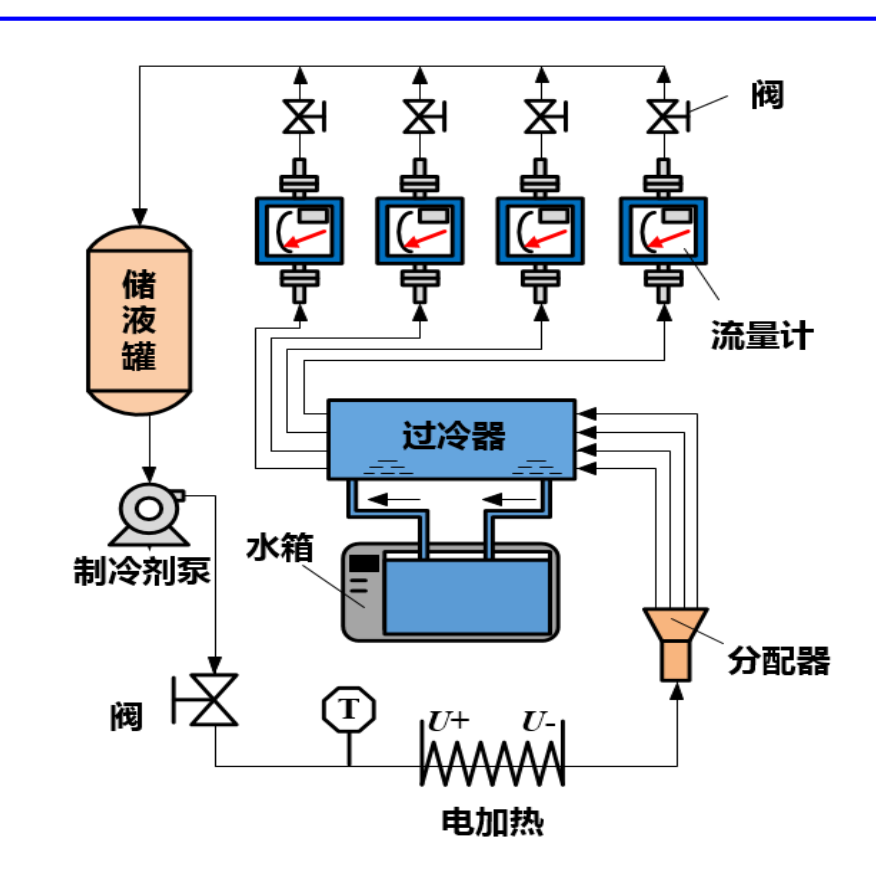
$$l_E = \frac{l_s U_G}{0.35 \beta \sqrt{gD}} \sum_{n=2}^{\infty} (e^{\beta/2n} - 1)$$

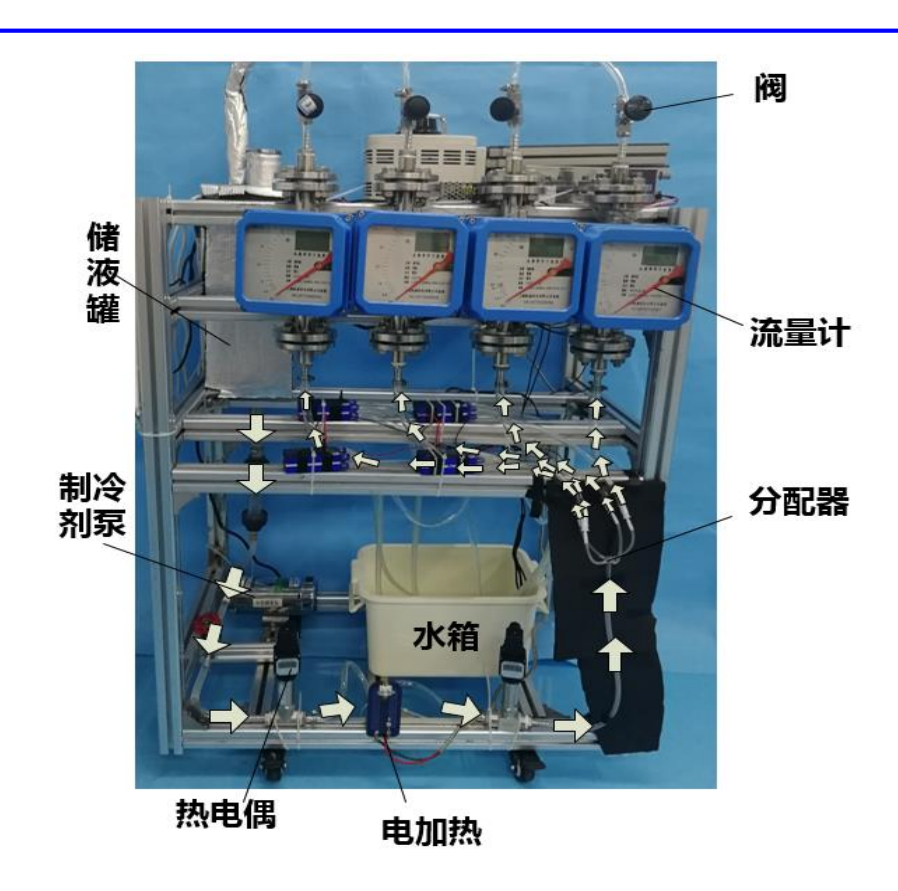
现有文献中的竖直管内流型转化条件通常以折算速度形式来表征。

2.2 冷媒流型可视化实验方法

> 流型可视化实验台

- ▶ 试验台:主要包括储液罐、水泵、球阀、电加热模块、温度传感器T1和T2、调压器、半导体制冷模块、 4个流量计以及实验样件。
- ➤ 循环工质:采用常压制冷剂 R141b。





2.2 冷媒流型可视化实验方法

▶实验条件

□ 实验工况

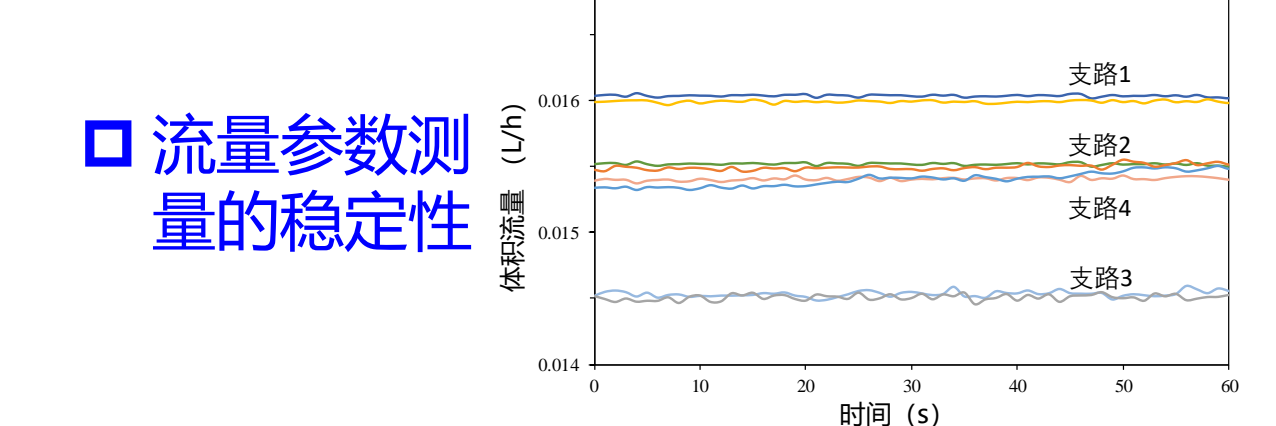
实验采用制冷剂为R141b。

| 安装角 / 方式 | 流量 / (g/s) | | |
|----------|------------|--|--|
| 0°/水平 | 14、18、22 | | |
| 45°/ 倾斜 | 14、18、22 | | |
| 90° / 竖直 | 14、18、22 | | |

□测试参数

测试参数包括流量,温度和加热电压。

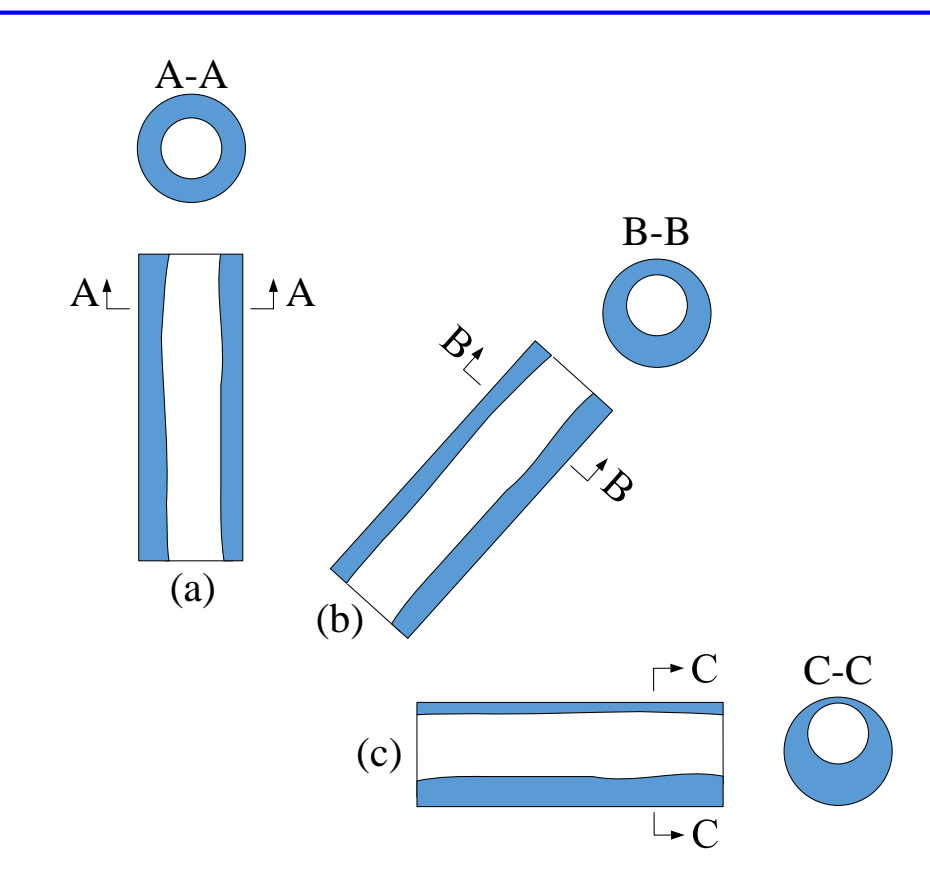
| 仪器名称 | 测量范围 | 测量精度 | |
|-------|----------|------|--|
| 温度传感器 | 0-50 ℃ | 0.1% | |
| 体积流量计 | 0-40 L/h | 2.5% | |
| 调压器 | 0-250 V | 0.8% | |

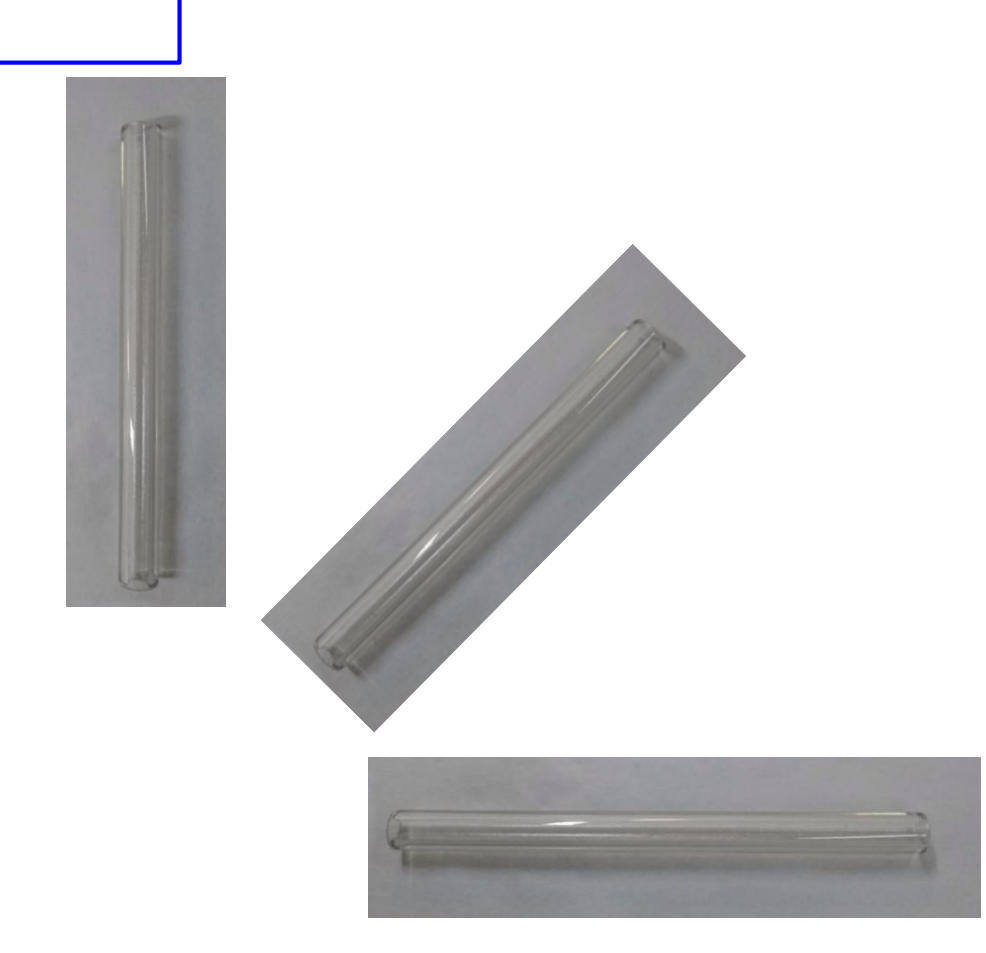


2.2 冷媒流型可视化实验方法

> 实验样件

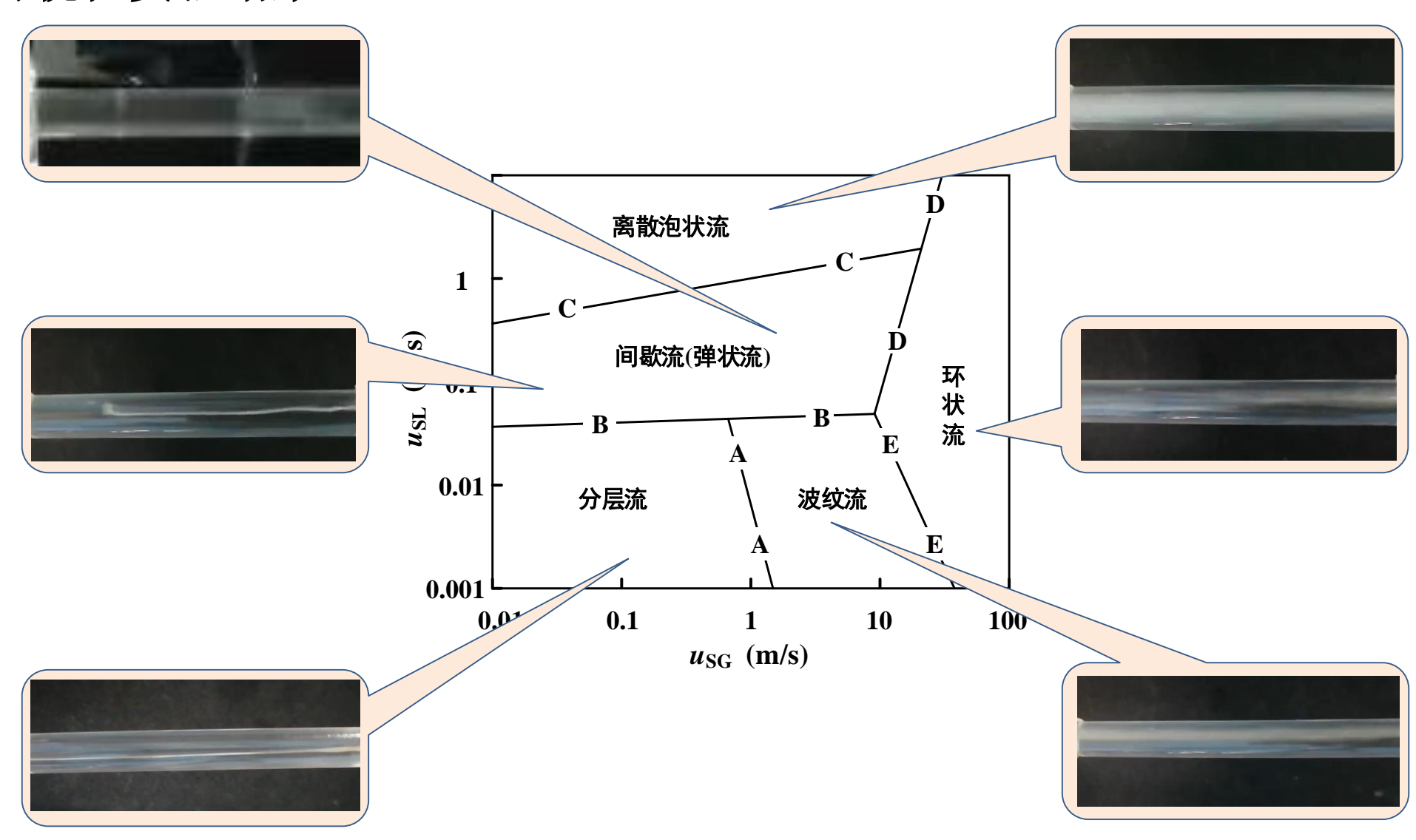
▶ 试验样件: 长度L>15倍的管内径D的圆管D=4.8mm, L=100mm





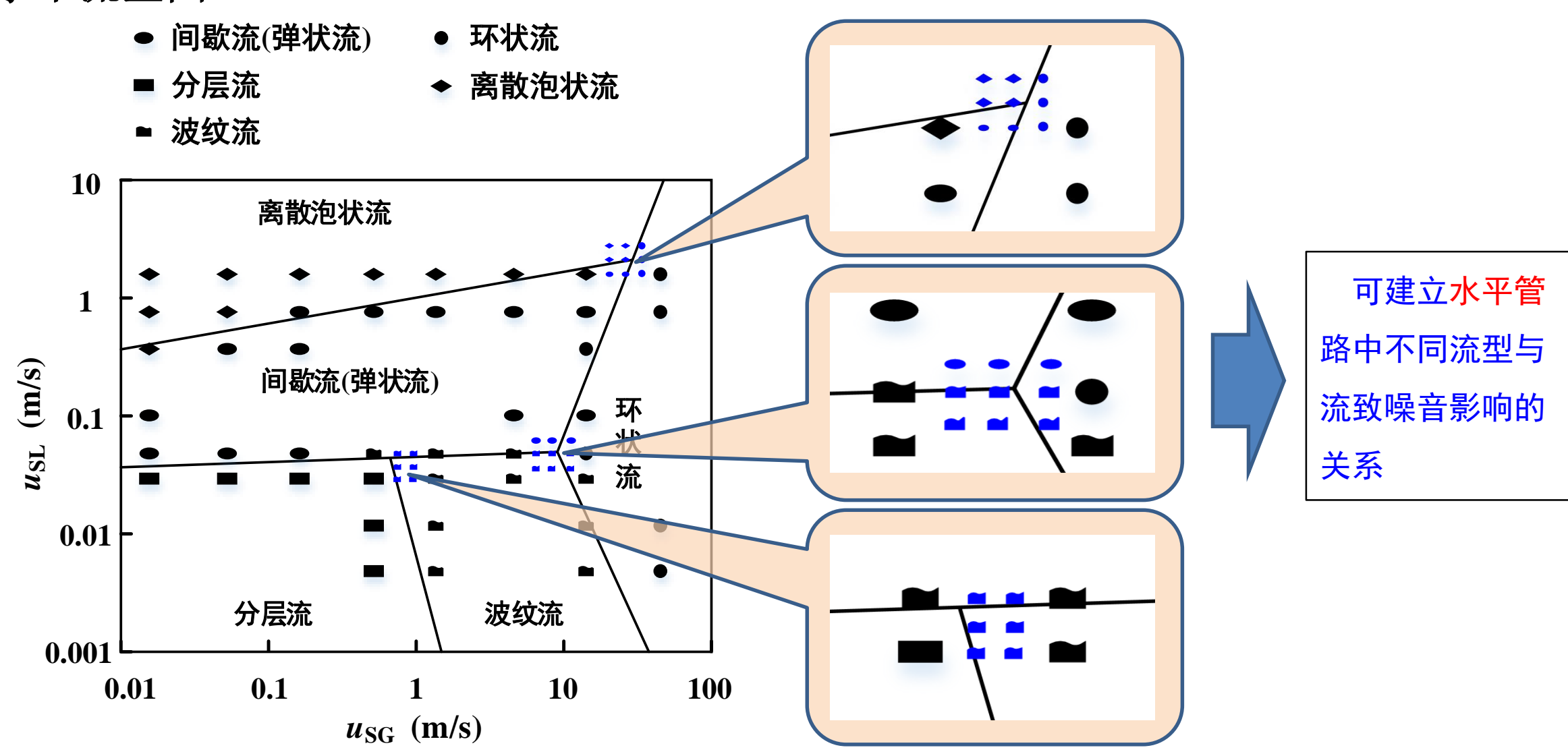
2.3 水平管内R141b流型可视化研究

> 流型可视化实验结果



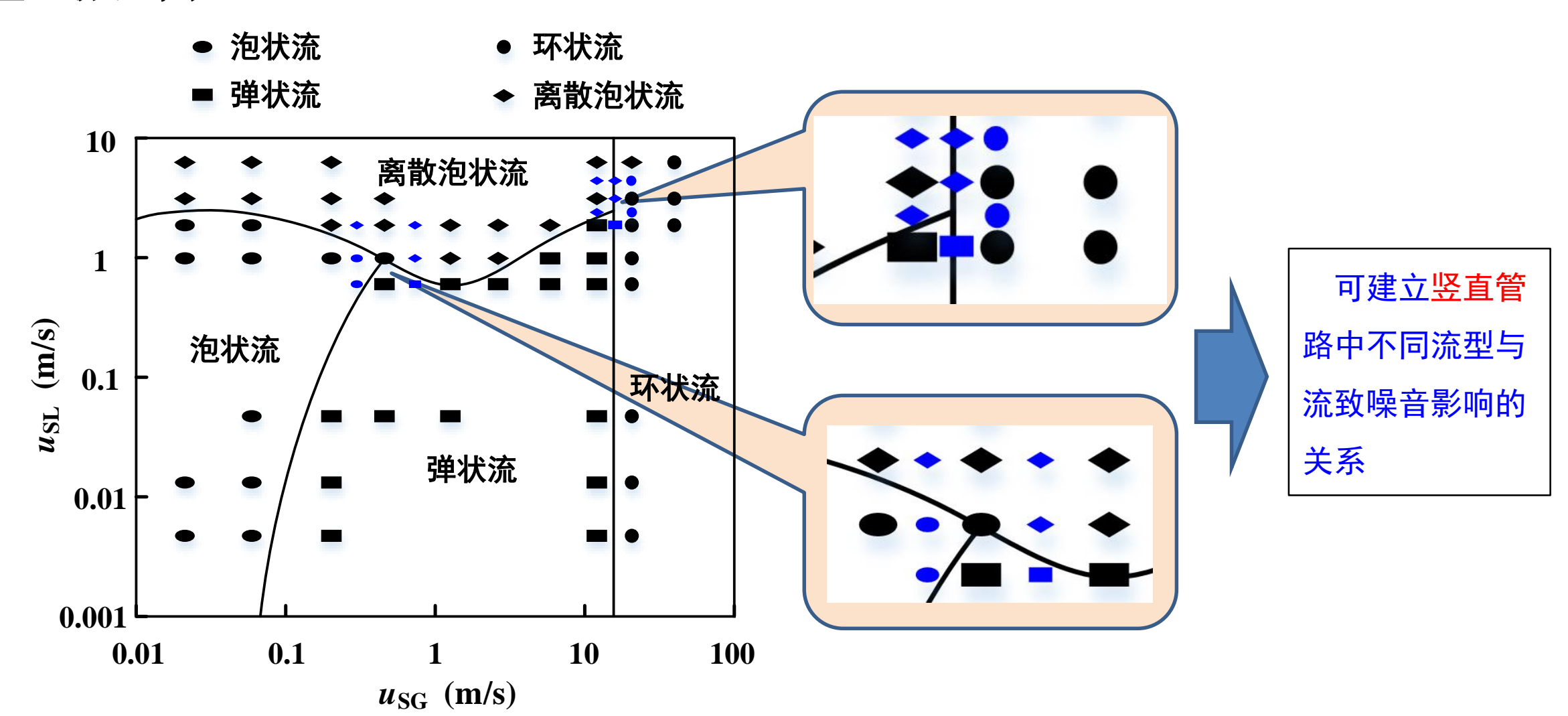
2.3 水平管内R141b流型可视化研究

> 水平流型图



2.4 竖直管内R141b流型可视化研究

▶竖直流型图



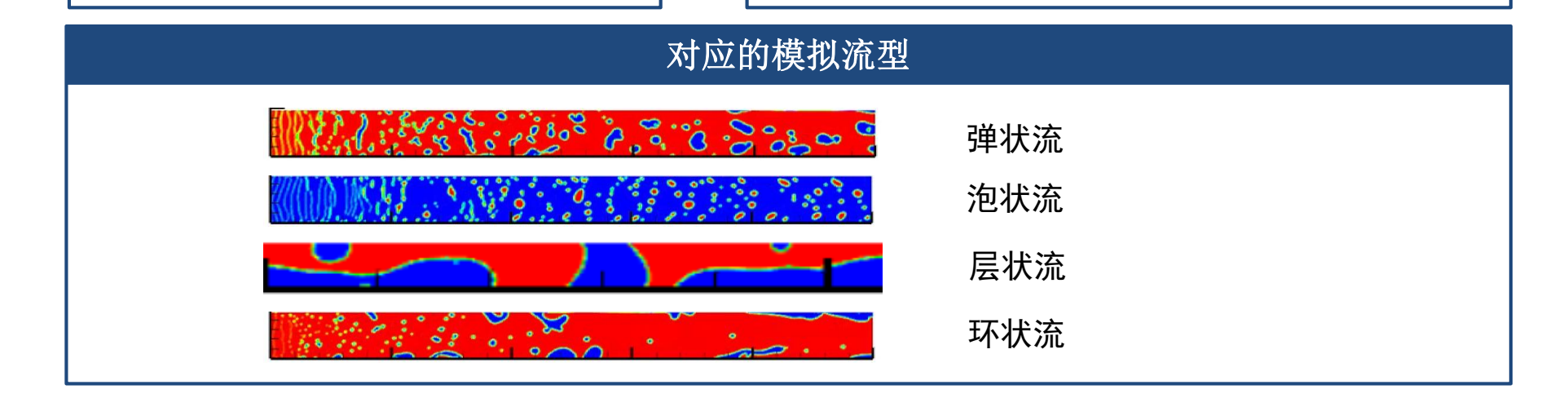
3.1 流型模拟方法

计算模型

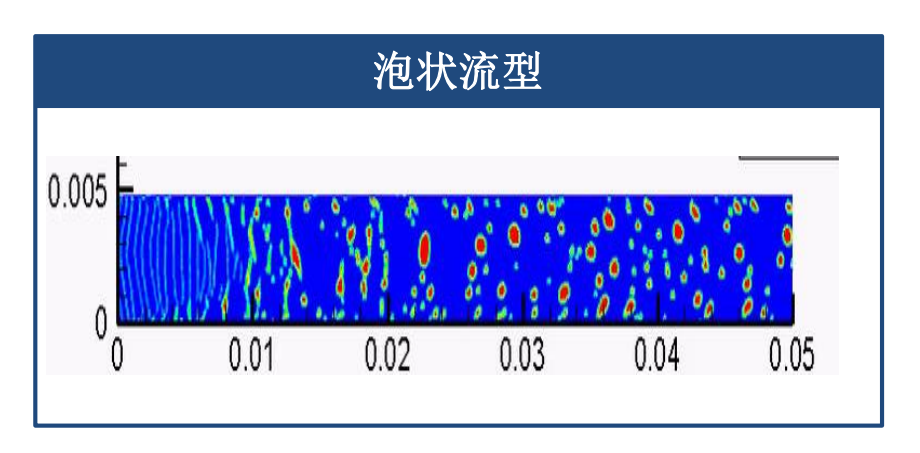
- ▶ 长直圆管
- > D=4.8mm, L=50mm/100mm/150mm
- ▶ 最小网格尺寸为0.1,边界层区 域绘有边界层网格

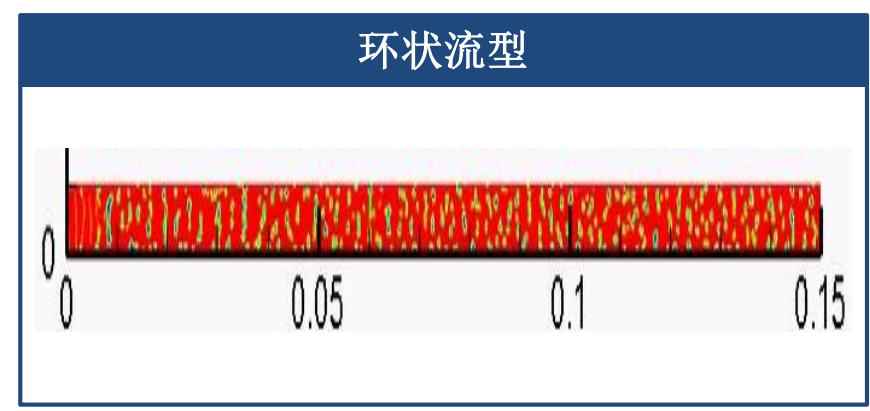
模拟设置

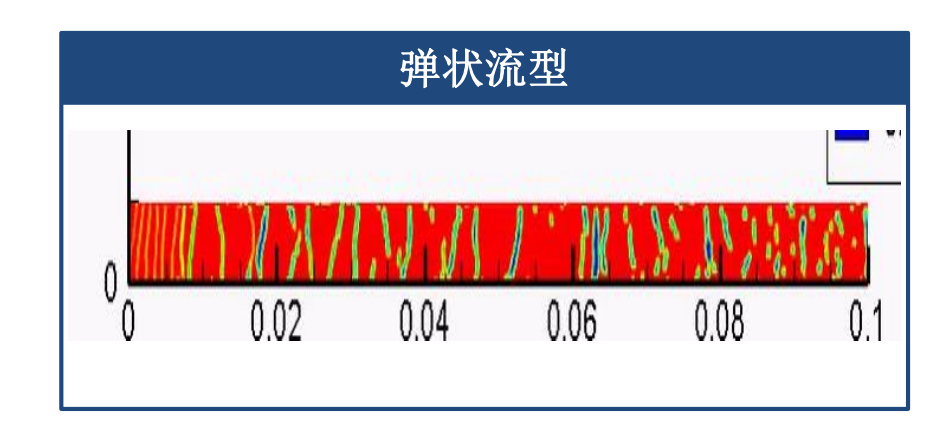
- ▶ 冷媒选取R141b和R32;
- 入口取为速度入口,根据要求输入气液两相总流速和空泡系数;
- ➤ 管径保持4.8mm;
- ▶ 入口压力选取为冷媒的工作压力;
- ➤ 采用VOF模型
- ➢ 湍流模型选取k-ε模型;
- ▶ 长直圆管水平安装

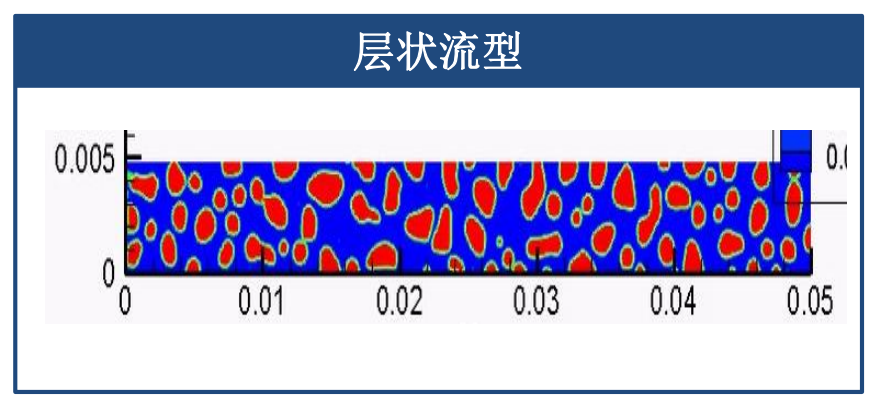


3.2 R141b流型模拟结果









> 红色为气相,蓝色为液相

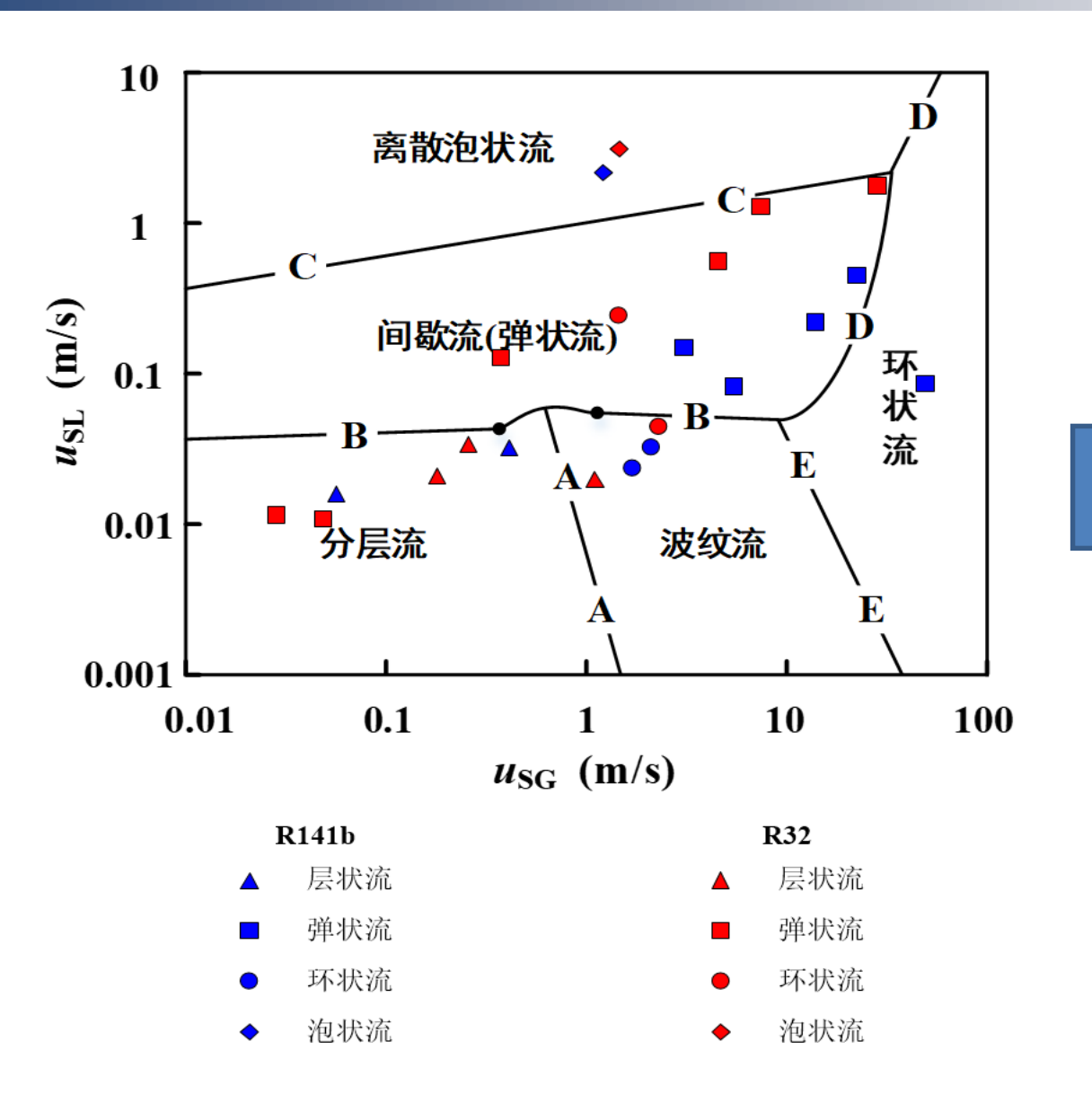
3.2 R141b流型模拟结果

| 工况点 | 总质量流 量/(g/s) | 干度 | 气相折算 速度(m/s) | 液相折算 速度(m/s) | 实验测得 流型 | 模拟测得 流型 |
|-----|-----------------|-------|-----------------|-----------------|------------|------------|
| 1 | 45 | 0.002 | 1.5564363 | 1.9955153 | 泡状流 | 泡状流 |
| 2 | 2.6 | 0.1 | 4.4963714 | 0.1039747 | 弹状流 | 弹状流 |
| 3 | 0.6 | 0.2 | 2.0752483 | 0.0213282 | 波纹流 | 环状流 |
| 4 | 0.26 | 0.01 | 0.0449637 | 0.0114372 | 层状流 | 层状流 |

| 工况点 | 总质量流 量/(g/s) | 干度 | 气相折算 速度(m/s) | 液相折算 速度(m/s) | 实验测得 流型 | 模拟测得 流型 |
|-----|-----------------|------|-----------------|-----------------|------------|------------|
| 5 | 18 | 0.15 | 46.693088 | 0.6798349 | 环状流 | 弹状流 |
| 6 | 10 | 0.15 | 25.940604 | 0.377686 | 弹状流 | 弹状流 |
| 7 | 5 | 0.15 | 12.970302 | 0.188843 | 弹状流 | 弹状流 |
| 8 | 1 | 0.15 | 2.5940604 | 0.0377686 | 波纹流 | 环状流 |

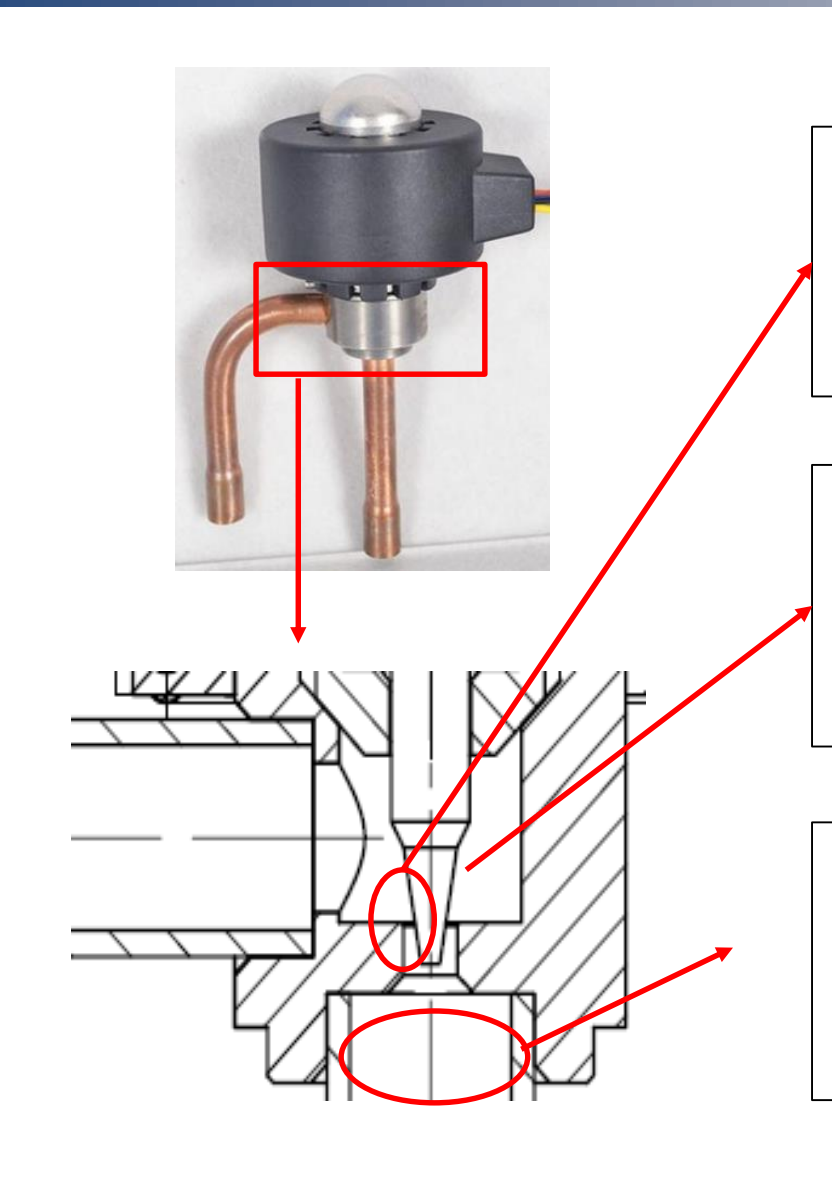
R141b在各入口工况点下的流型模拟结果与实验结果基本吻合

3.3 R32流型与R141b流型对比



基于R141b流型实验和仿真结果, 并通过分析R32与R141b的差异性, 可得到大致准确的R32流型图,并 建立不同R32流型与流致噪音影响 的关系

4.1 电子膨胀阀流动噪音问题



噪音问题1:冷媒节流过程中空化相变剧烈, 空泡群振荡可能辐射噪声;

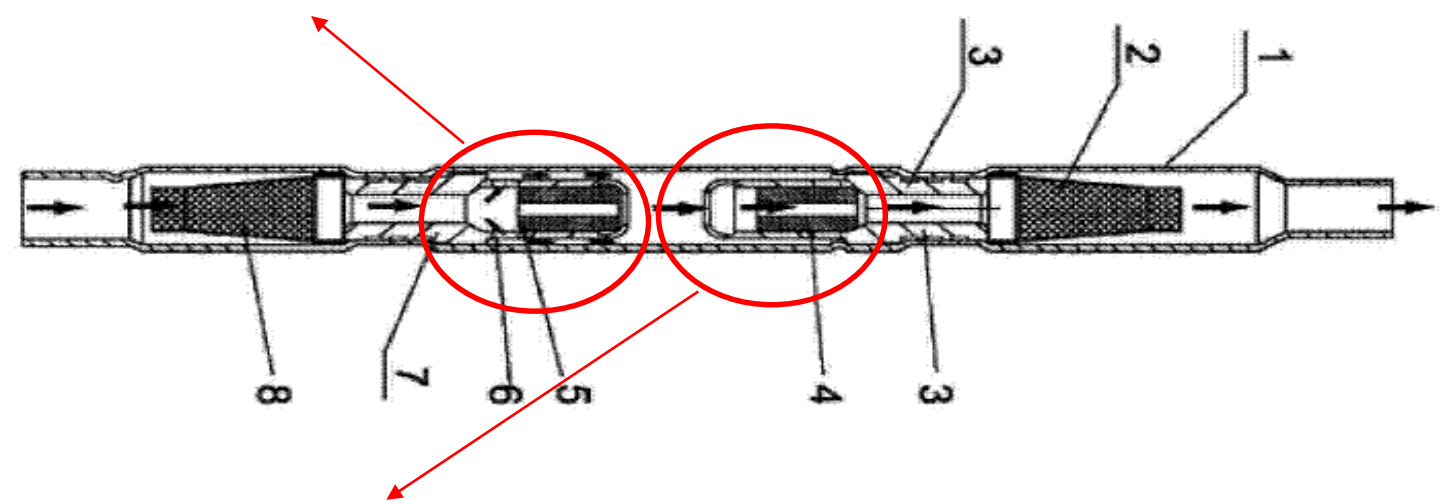
噪音问题2: 高速冷媒冲击阀针引起自激振荡, 可能引起噪声;

噪音问题3:流道突缩突扩引起复杂涡流变化, 易产生湍流噪音。

4.2 双向流通单向节流阀的流动噪音问题

- ▶ 空调器中采用的另一种形式节流阀:单向节流过程中,阀芯运动至一侧端面,冷媒只能从阀芯的细小通道流动;反向流通过程中,阀芯运动至另一侧端面,冷媒能够从阀芯外侧的通流孔流出。
- ▶ 噪音问题: 1) 节流过程的冷媒流动噪音; 2) 阀芯运动的金属撞击噪音。

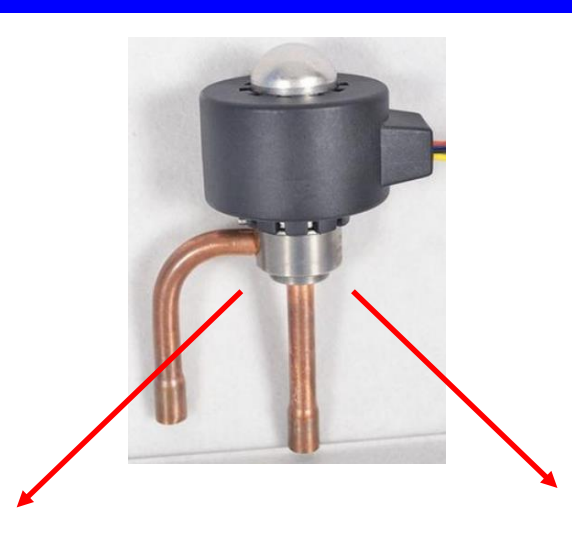
问题1: 节流孔直径小, 节流孔前后空间突扩, 导致压降变化剧烈



问题2: 阀芯与阀座撞击时会产生撞击噪音,且阀芯轴向窜动和径向转动时会产生金属摩擦噪音。

5.1 抑制冷媒流致噪音的难点是掌握流致噪音的发声机理

节流过程的流致噪音机理研究

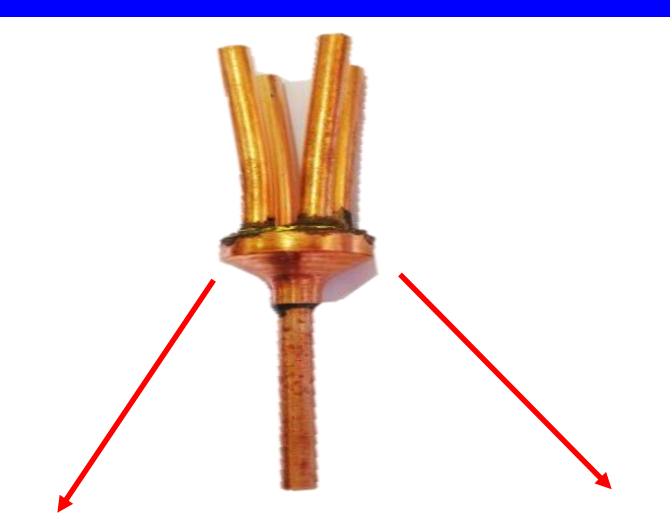


- 需明确冷媒相变 引起的空化噪音 机理
- 需明确冷媒冲击阀针引起的自持振荡发声机理



- ▶ 如何降低空化程度
- 如何避免流体共振

分流过程的流致噪音机理研究



需明确流型对分流噪音的影响规律



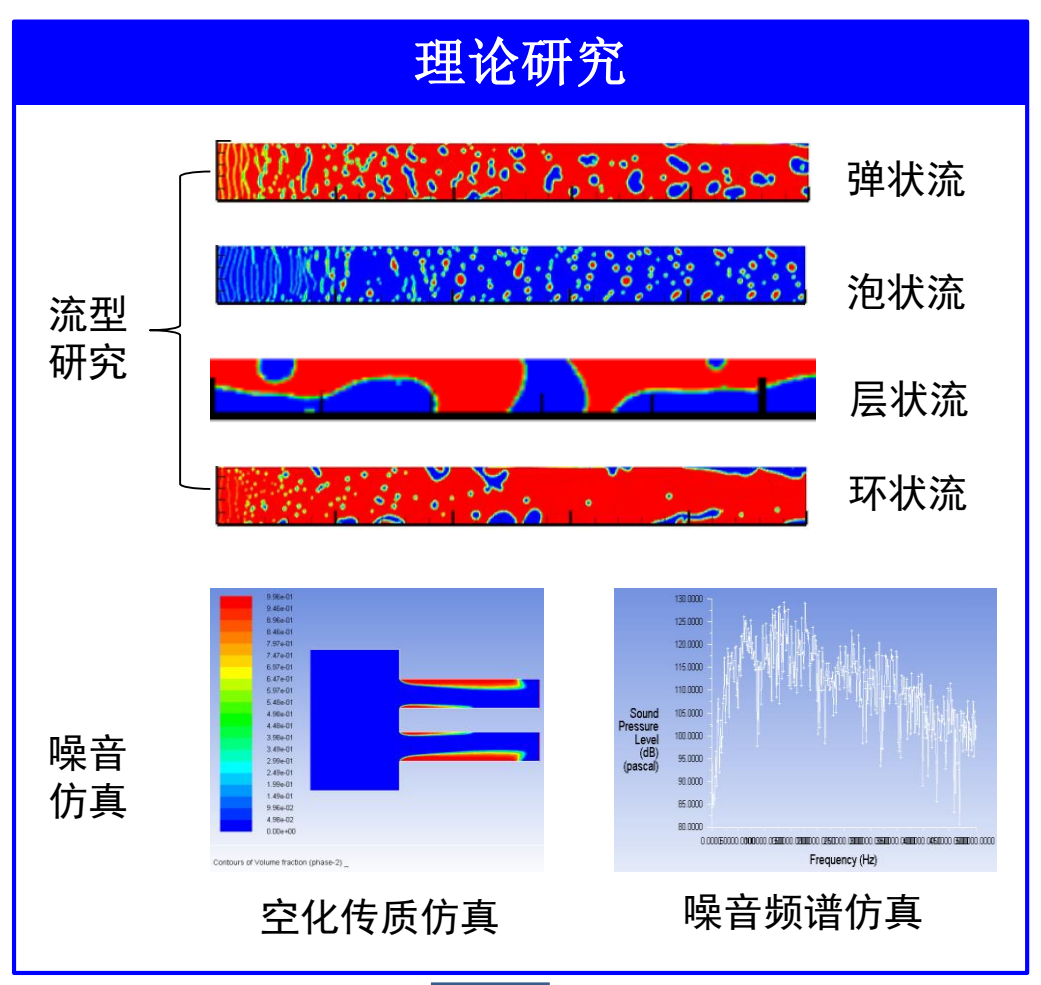
如何重整流型

需明确降噪与分流 均匀性的相互关系



如何在保证分流均匀性的前提下降噪

5.2 交大具备冷媒流致噪音机理及实验研究的相关基础



实验研究



• 已有R32/R410A冷媒实验台,通过适当改造可复现 流致噪音,获得冷媒流动参数、流型与噪音的关系



基于已开发的噪音仿真方法和拟搭建的冷媒流动噪音测试台,可揭示流致噪音机理并开发降噪优化方案

谢谢!

